



Simulation numérique de l'activité électrique dans l'oreillette gauche et les veines pulmonaires

Simon Labarthe, Yves Coudière, Jacques Henry

► To cite this version:

Simon Labarthe, Yves Coudière, Jacques Henry. Simulation numérique de l'activité électrique dans l'oreillette gauche et les veines pulmonaires. Printemps de la Cardiologie, Apr 2012, Bordeaux, France. hal-00785607

HAL Id: hal-00785607

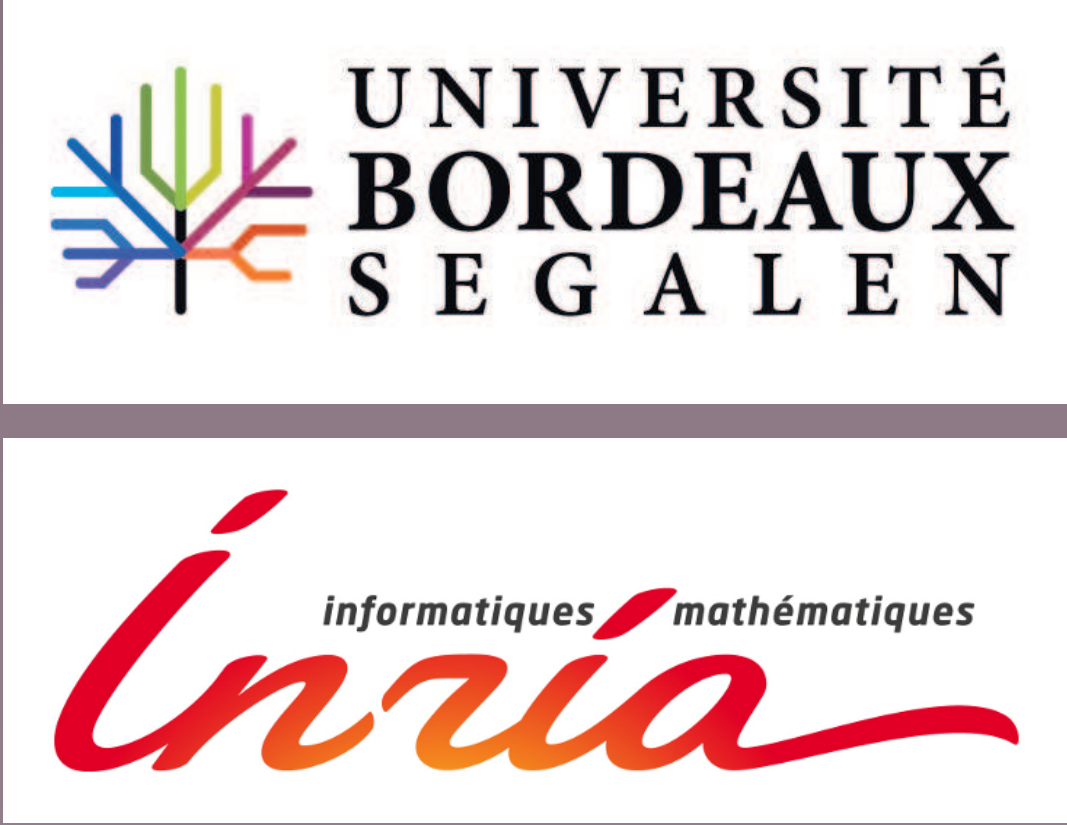
<https://inria.hal.science/hal-00785607>

Submitted on 6 Feb 2013

HAL is a multi-disciplinary open access archive for the deposit and dissemination of scientific research documents, whether they are published or not. The documents may come from teaching and research institutions in France or abroad, or from public or private research centers.

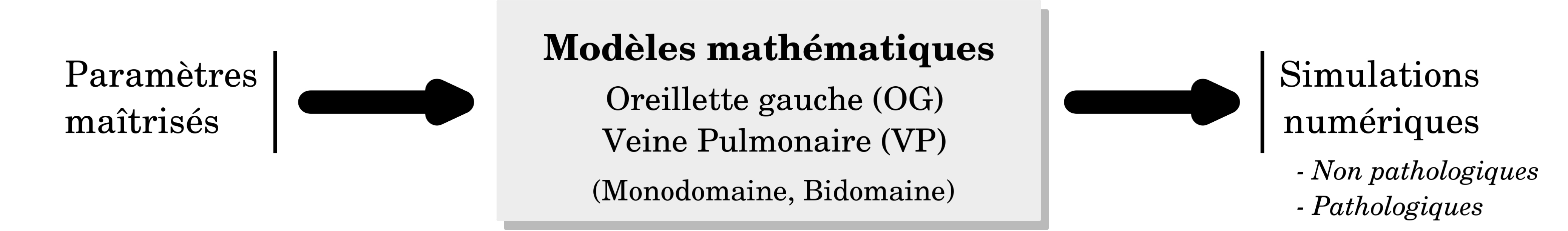
L'archive ouverte pluridisciplinaire **HAL**, est destinée au dépôt et à la diffusion de documents scientifiques de niveau recherche, publiés ou non, émanant des établissements d'enseignement et de recherche français ou étrangers, des laboratoires publics ou privés.

Simulation numérique de l'activité électrique dans l'oreillette gauche et les veines pulmonaires



SIMON LABARTHE, YVES COUDIERE, JACQUES HENRY
simon.labarthe@u-bordeaux2.fr, yves.coudiere@inria.fr, jacques.henry@inria.fr

MODÈLE MATHÉMATIQUE



Bidomaine :

$$\begin{cases} \alpha(C_m \partial_t V + I_{ion}(V)) - \text{div} D_i \nabla \Phi_i = 0 \\ \alpha(C_m \partial_t V + I_{ion}(V)) + \text{div} D_e \nabla \Phi_e = I_{app}^{stim} \end{cases}$$

électrophysiologie couplage

Monodomaine :

$$\alpha(C_m \partial_t V + I_{ion}(V)) + \text{div} D \nabla V = I_{app}^{stim}$$

électrophysiologie couplage

ENTRÉES DU MODÈLE

- Electrophysiologie : $OG \neq VP$
- Couplage inter-cellulaire : anisotropie du tissu...
- Anatomie : IRM, fibres.
- Excitation/Stimulation : NS, trigger, électrode...

SORTIE DU MODÈLE

- Bidomaine : V_m, Φ_i, Φ_e .
- Monodomaine : V_m uniquement (Φ_i et Φ_e accessibles après extrapolation).
- Post-processing médical :
EGM / ECG PA, $\partial V / \partial t_{max}$
Carte d'activation Courants ioniques
... ...

COMPROMIS

PRECISION

COMPROMIS

TEMPS de CALCUL

- Modèles
- Algorithmes
- Informatique

MODÈLE DE FIBRES SUR L'OG

PROBLÉMATIQUE

Structure fibreuse :

- Inaccessible sur patient.
- Accessible sur coeur explanté, mais pour l'instant de mouton [5].

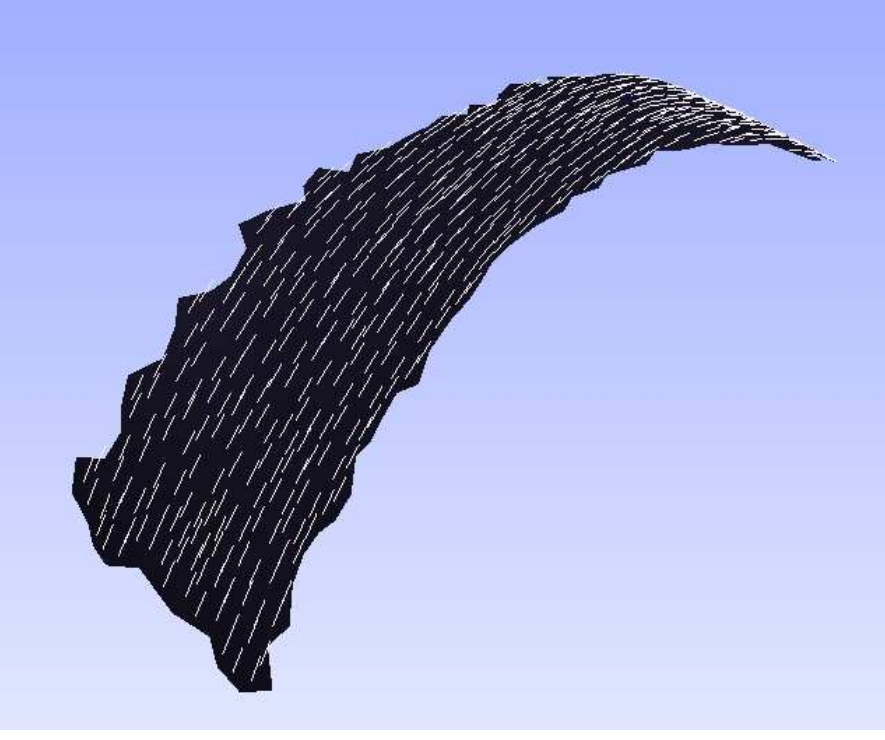
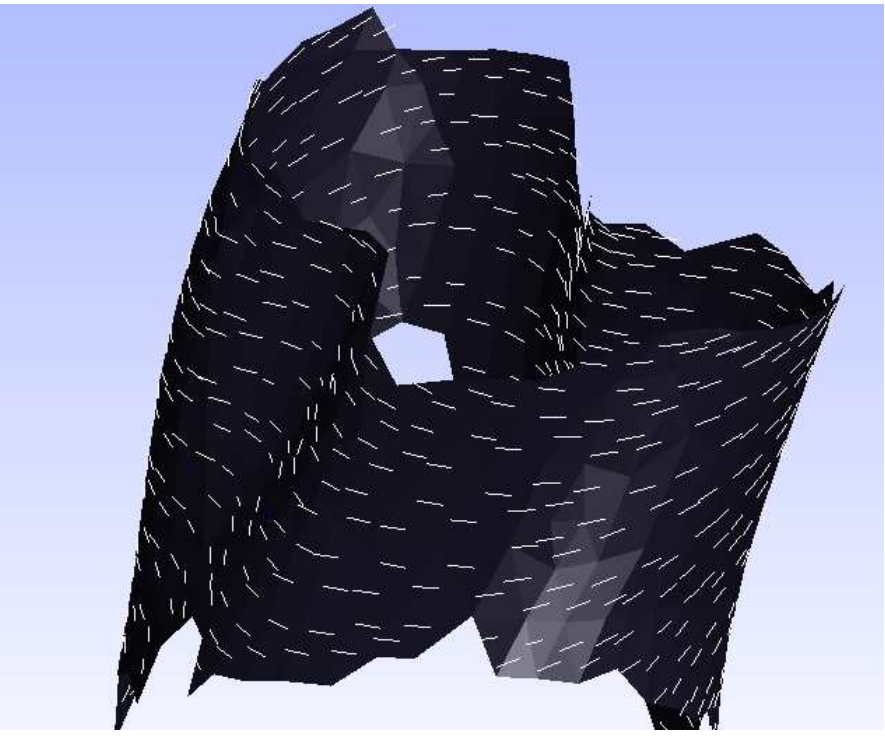
⇒ **reconstruction semi-automatique a priori** à partir d'un IRM [CHU Haut-Lévêque].

MÉTHODE

- Bibliographie : descriptions histologiques [2, 1].
- Définition manuelle de zones d'intérêt.
- Fibres circonférentielles construites automatiquement sur ces zones.
- Complétion à l'ensemble de la géométrie : algorithme mathématique (inpainting).

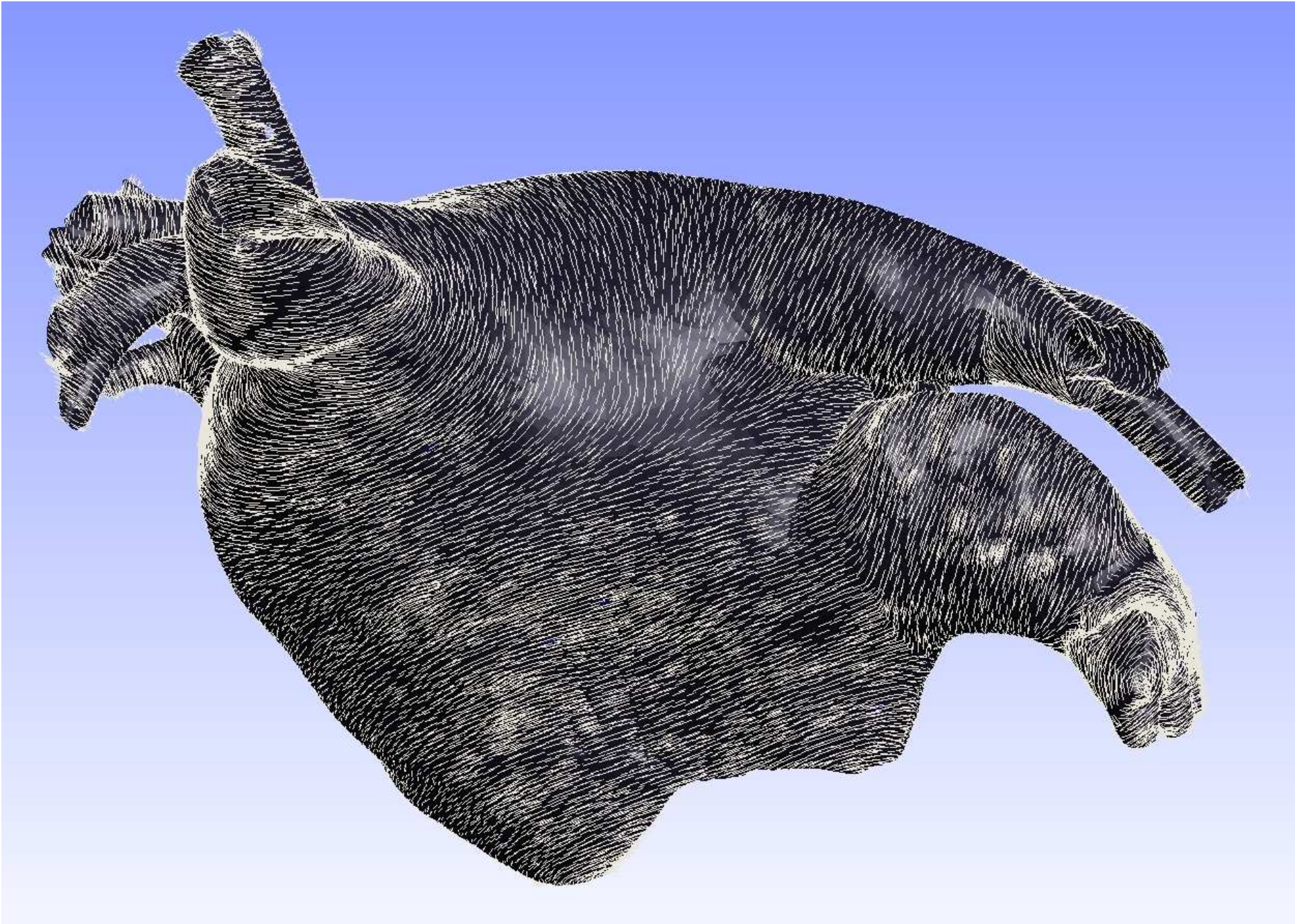
RÉSULTATS

Fibres circonférentielles sur des zones d'intérêt



Fibres sur la base de la VP supérieure gauche Fibres sur le dome

Extrapolation sur l'ensemble de la géométrie



Fibres sur l'endocarde de l'OG : vue antérieure.

SIMULATION : RYTHME SINUSAL

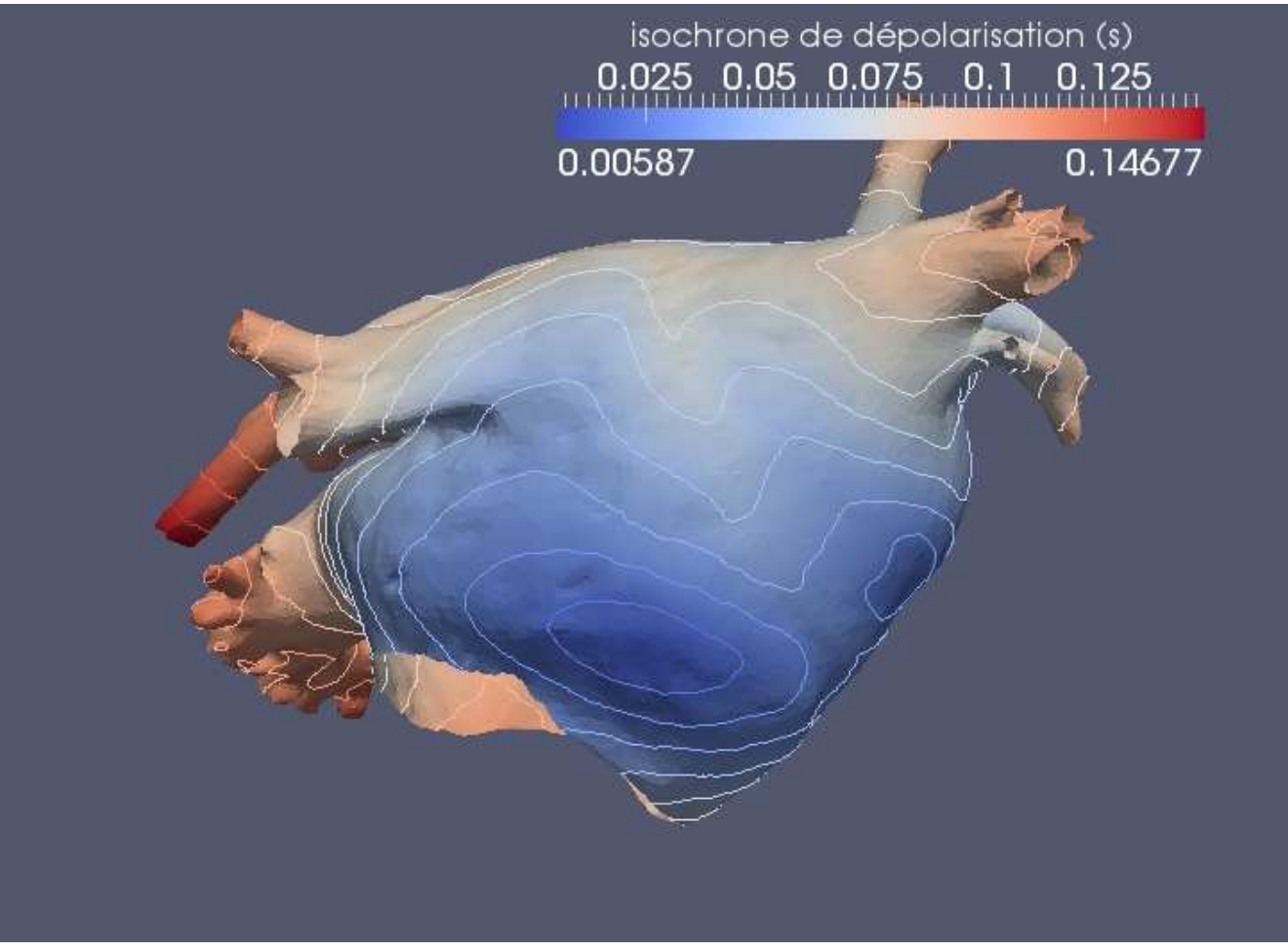
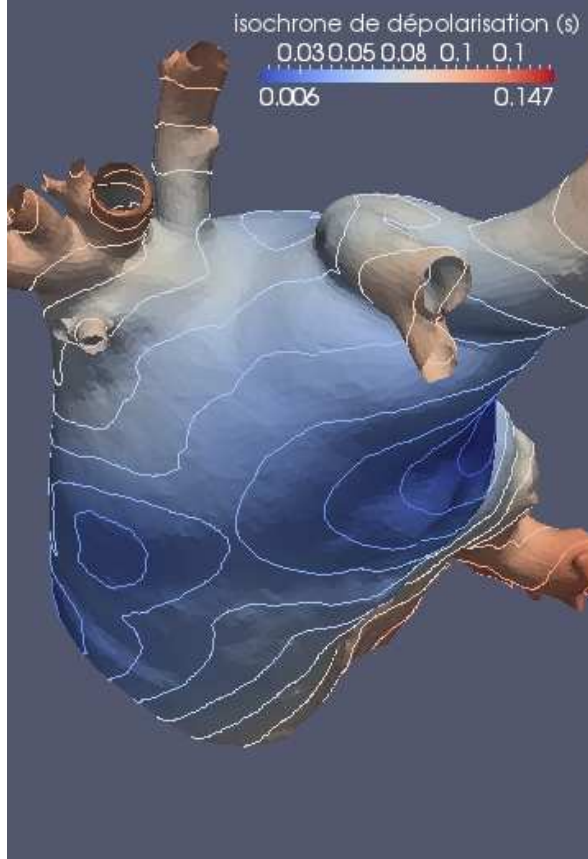
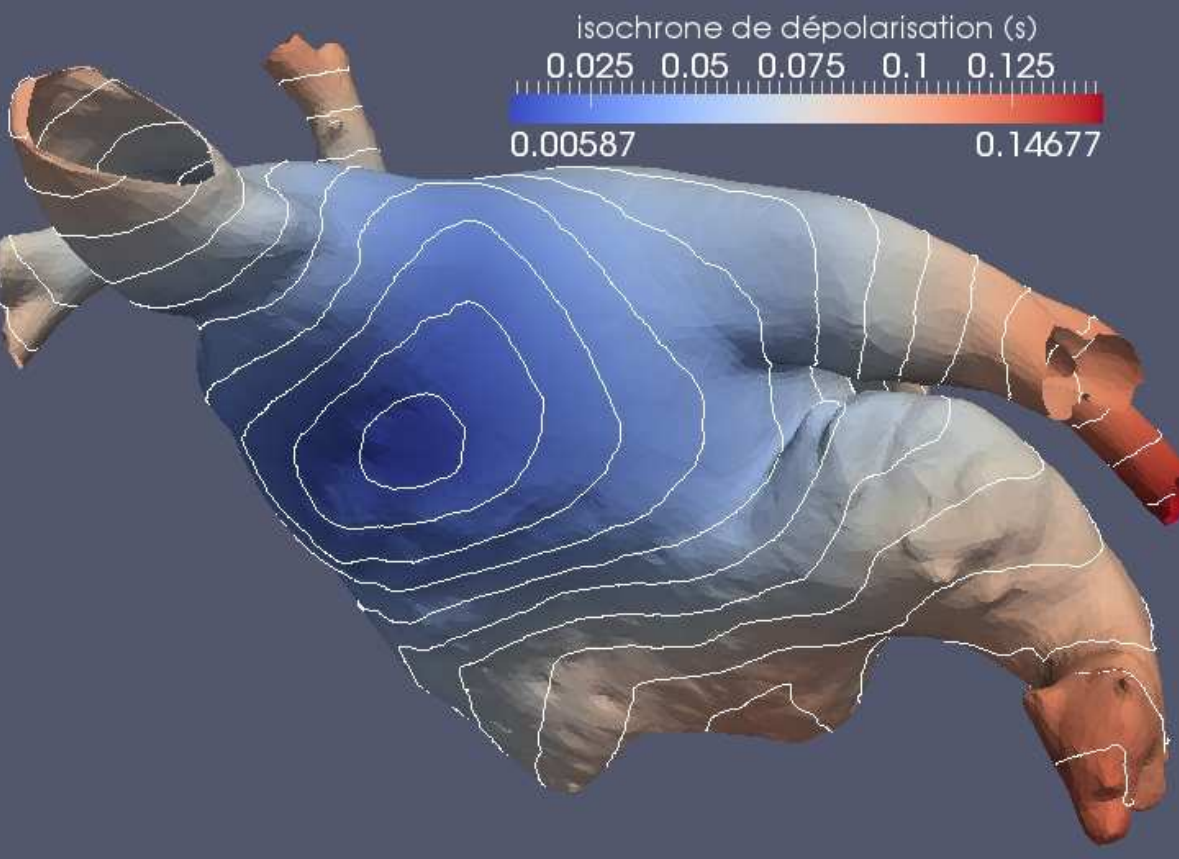
PARAMÈTRES

- Physiologie, anatomie : CRN, couplage standard, fibres reconstruites.
- Stimulation : faisceau de Bachmann ($t = 5ms$), sinus coronaire ($t = 10ms$) et foramen ovale ($t = 26, 3ms$).

RÉSULTATS

- Conduction anisotrope.
- Dépolarisation complète ($120ms$) se terminant dans la VP SG.

Isochrones de dépolarisation



vue antérieure vue septale vue postérieure

COUCHES DE FIBRES

PROBLÉMATIQUE

- Prise en compte des hétérogénéités d'anisotropie dans l'épaisseur du tissu avec un modèle 2D ?

MÉTHODE ET RÉSULTATS

- Utilisation de modèles 2D couplés.

couches 2D couplées

3D

gain de temps

Simulations 2D-couplées (gauche) et 3D (droite) de propagation avec deux couches de fibres orthogonales.

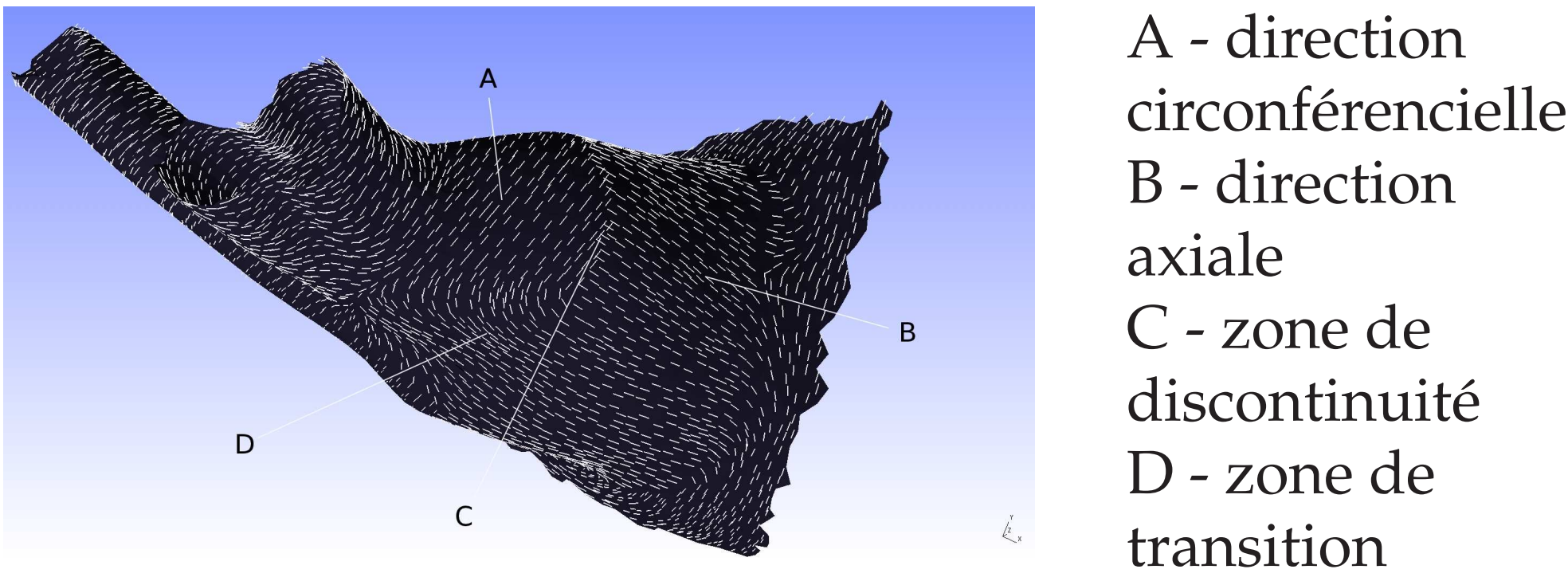
SIMULATION : BLOC

PROBLÉMATIQUE

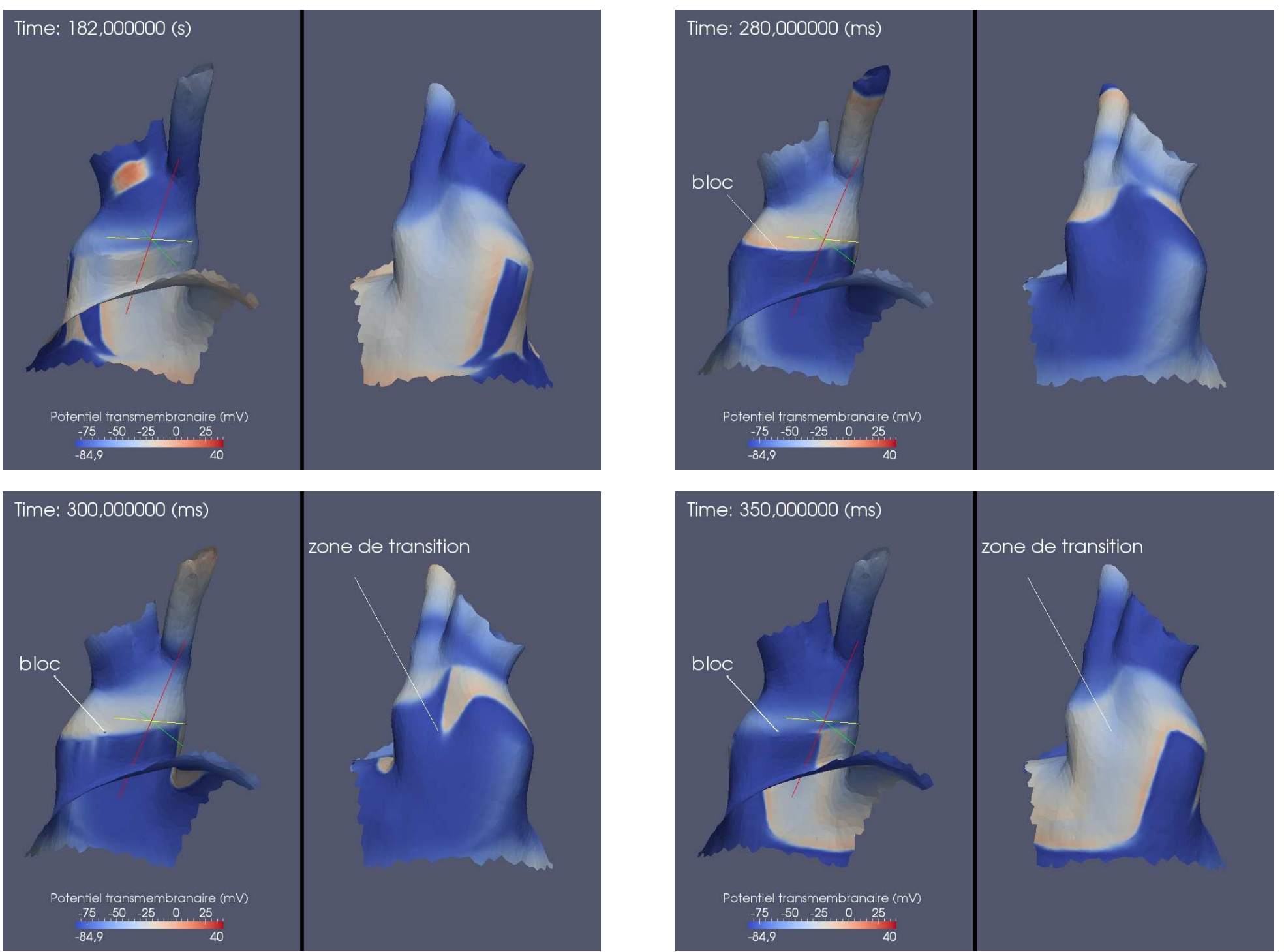
L'organisation complexe des fibres dans les VP peut provoquer des blocs, notamment lors d'un protocole S1-S2 [3]. Une hétérogénéité de conduction peut provoquer un bloc unidirectionnel [4].

PARAMÈTRES

- Physiologie : CRN modifié pour VP, conductivité tangentielle diminuée.
- Anatomie : les fibres sont circonférentielles dans la partie distale, et axiales dans la partie ostiale. Une zone de transition sépare deux zones de discontinuité.
- Stimulation : S1-S2 ($177ms$) distal.



RÉSULTATS



Après S1, l'onde de dépolarisation franchit la discontinuité. Après S2, un bloc se produit. Mais le PA se propage dans la zone de transition et envahit la partie ostiale de la VP, provoquant un début de réentrée.

RÉFÉRENCES

[1] S.Y. HO et al. Dans : *Cardiovascular Research* (2002).
[2] S.Y. HO et al. Dans : *Jour. of Cardiovasc. Electrophy.* (1999).
[3] M. HOCINI et al. Dans : *Circulation* (2002).
[4] C.W. ZEMLIN et al. Dans : *Physica D: Nonlin. Phenom.* (2009).
[5] J. ZHAO et al. Dans : *Circulation: Arrhyt. and Electrophy.* (2012).